

УДК 681.532.8

УПРАВЛЕНИЕ УГЛОВЫМ ПОЛОЖЕНИЕМ ЛЕТАТЕЛЬНОГО АППАРАТА*

Ю. Н. Золотухин, А. А. Нестеров

*Институт автоматизации и электрометрии СО РАН,
630090, г. Новосибирск, просп. Академика Коптюга, 1
E-mail: zol@idisys.iae.nsk.su*

Рассмотрена проблема управления угловым положением летательного аппарата в трёхмерном пространстве. Ориентация представлена углами Эйлера между осями связанной системы координат аппарата и нормальной земной системы. Предложен способ вычисления вращающих моментов, приводящих аппарат в заданное угловое положение. Представлена схема контроллера, реализующего данный метод. Приведены результаты моделирования.

Ключевые слова: летательный аппарат, угловое положение, управление ориентацией, вращающие моменты.

Введение. При движении летательного аппарата (ЛА) как твёрдого тела различают поступательное движение — движение центра масс аппарата относительно Земли — и вращательное движение — вращение аппарата вокруг его центра масс. При исследовании этих движений используются различные системы координат. Далее мы будем применять нормальную и связанную системы координат [1] для описания поступательного и вращательного движений соответственно.

Начало O нормальной системы координат $OX_gY_gZ_g$ совпадает с центром масс летательного аппарата. Ось OY_g направлена вверх по местной вертикали. Плоскость OX_gZ_g является местной горизонтальной плоскостью, проходящей через точку O перпендикулярно оси OY_g . Оси OX_g и OZ_g параллельны осям O_0X_g , O_0Z_g нормальной земной системы координат и образуют совместно с осью OY_g прямоугольную правую систему координат.

Начало O связанной системы координат $OXYZ$ совпадает с центром масс ЛА, а оси ориентированы по главным осям инерции аппарата. Продольная ось OX расположена в плоскости симметрии и направлена в сторону носовой части. Поперечная ось OZ перпендикулярна плоскости симметрии и ориентирована по правому полукрылу. Ось OY лежит в плоскости симметрии и направлена к верхней части аппарата. Система $OXYZ$ — прямоугольная правая система координат.

Поскольку оси связанной системы координат неподвижны относительно ЛА и совпадают с его главными осями инерции, её положение относительно нормальной системы координат определяет параметры пространственного положения ЛА в его вращательном движении относительно Земли. Этими параметрами являются эйлеровы углы: ψ — угол рыскания, ϑ — угол тангажа и γ — угол крена [2, 3].

Угол рыскания ψ — угол между осью OX_g нормальной системы координат и проекцией продольной оси OX связанной системы координат на горизонтальную плоскость OX_gZ_g нормальной системы координат.

Угол тангажа ϑ — угол между продольной осью OX связанной системы координат и горизонтальной плоскостью OX_gZ_g нормальной системы координат.

*Работа выполнена при частичной поддержке Российского фонда фундаментальных исследований (грант № 15-08-03233).

Угол крена γ — угол между поперечной осью OZ связанной системы координат и осью OZ_g нормальной системы координат.

Далее под управлением ориентацией ЛА мы будем понимать целесообразное изменение значений углов ψ , ϑ и γ .

Управление ориентацией позволяет менять угловое положение ЛА относительно воздушных потоков, обтекающих аппарат. Это изменяет значения аэродинамических сил и моментов, действующих на ЛА, что позволяет управлять скоростью и направлением его движения.

Постановка задачи и метод решения. Будем считать, что известны желаемые значения углов $\psi = \psi_{\text{ref}}$, $\vartheta = \vartheta_{\text{ref}}$ и $\gamma = \gamma_{\text{ref}}$, обеспечивающие требуемый режим полёта. Наша задача — путём использования органов управления ЛА перевести значения эйлеровых углов из произвольного начального состояния в заданные значения ψ_{ref} , ϑ_{ref} , γ_{ref} по траекториям, удовлетворяющим требованиям к качеству переходных процессов.

Вращательное движение ЛА опишем следующими векторными функциями времени:

1) $\mathbf{\Gamma}(t) = (\gamma(t), \psi(t), \vartheta(t))^T$ — вектор текущих значений углов Эйлера;

2) $\mathbf{\omega}(t) = (\omega_x(t), \omega_y(t), \omega_z(t))^T$ — вектор угловых скоростей вращения ЛА в проекциях на оси связанной системы координат;

3) $\mathbf{M}(t) = (M_x(t), M_y(t), M_z(t))^T$ — суммарный момент вращения, образуемый всеми силами, действующими на ЛА, включая аэродинамические силы, создаваемые управляющими поверхностями аппарата;

4) $\mathbf{I}(m) = (I_x(m), I_y(m), I_z(m))^T$ — вектор моментов инерции ЛА относительно осей связанной системы координат;

5) m — масса ЛА.

При полёте над плоской землёй для описания ориентации ЛА достаточно знания углов ψ , ϑ и γ , задающих положение осей связанной системы координат относительно нормальной системы координат. В этом случае проекции вектора угловой скорости аппарата на связанные оси определяются кинематической системой дифференциальных уравнений [2, 3]

$$\left. \begin{aligned} \omega_x &= \dot{\gamma} + \dot{\psi} \sin \vartheta, \\ \omega_y &= \dot{\psi} \cos \vartheta \cdot \cos \gamma + \dot{\vartheta} \sin \gamma, \\ \omega_z &= -\dot{\psi} \cos \vartheta \cdot \sin \gamma + \dot{\vartheta} \cos \gamma, \end{aligned} \right\} \quad (1)$$

имеющей обращённую форму

$$\left. \begin{aligned} \dot{\gamma} &= \omega_x - \tan \vartheta (\omega_y \cos \gamma - \omega_z \sin \gamma), \\ \dot{\psi} &= \frac{1}{\cos \vartheta} (\omega_y \cos \gamma - \omega_z \sin \gamma), \\ \dot{\vartheta} &= \omega_y \sin \gamma + \omega_z \cos \gamma, \end{aligned} \right\} \quad (2)$$

а закон изменения вектора угловой скорости задаётся системой динамических уравнений

$$\left. \begin{aligned} \dot{\omega}_x &= \frac{1}{I_x} M_x - \frac{I_z - I_y}{I_x} \omega_y \omega_z, \\ \dot{\omega}_y &= \frac{1}{I_y} M_y - \frac{I_x - I_z}{I_y} \omega_z \omega_x, \\ \dot{\omega}_z &= \frac{1}{I_z} M_z - \frac{I_y - I_x}{I_z} \omega_x \omega_y. \end{aligned} \right\} \quad (3)$$

Системы уравнений (1)–(3) хорошо известны [2, 3] и являются основой построения систем управления различными режимами полёта ЛА.

Далее будем пользоваться более компактной векторно-матричной формой записи нелинейных дифференциальных уравнений (2) и (3):

$$\left. \begin{aligned} \dot{\Gamma} &= \mathbf{F}_1(\boldsymbol{\omega}, \Gamma), \\ \dot{\boldsymbol{\omega}} &= \mathbf{F}_2(\boldsymbol{\omega}) + B\mathbf{M}, \end{aligned} \right\} \quad (4)$$

где векторы Γ , $\boldsymbol{\omega}$, \mathbf{M} определены, а значения векторов \mathbf{F}_1 , \mathbf{F}_2 и диагональной матрицы B следуют из сопоставления правых частей уравнений (4) и систем (2) и (3) соответственно.

В уравнениях (4) под \mathbf{M} будем понимать некоторое требуемое значение момента \mathbf{M}_{ref} , позволяющее перевести значения углов Γ в требуемое значение Γ_{ref} по желаемой траектории $\mathbf{S}(t)$, уравнение которой в соответствии с [4] имеет вид

$$\mathbf{S}(t) = \dot{\Gamma}(t) - K_1(\Gamma(t) - \Gamma_{\text{ref}}) = 0. \quad (5)$$

Для выполнения условия (5), т. е. реализации вынужденного движения системы (4) по заданной траектории, найдём \mathbf{M}_{ref} из условия

$$\dot{\mathbf{S}}(t) = -K_2\mathbf{S}(t), \quad (6)$$

что с учётом (5) приводит нас к линейному относительно $\Gamma(t)$ дифференциальному уравнению второго порядка

$$\ddot{\Gamma} = -(K_1 + K_2)\dot{\Gamma} - K_1K_2(\Gamma - \Gamma_{\text{ref}}), \quad (7)$$

определяющему необходимое значение $\ddot{\Gamma}$ для движения системы по траектории (5).

В уравнениях (5) и (6) коэффициенты диагональных матриц K_1 и K_2 выбираются из условия устойчивого переходного процесса системы (7) в точку $\Gamma = \Gamma_{\text{ref}}$. Так, например, при $K_1 = K_2$ с положительными диагональными элементами соответствующих матриц выполнение уравнения (7) приводит к устойчивым переходным процессам без перерегулирования [5].

Вращающий момент \mathbf{M} согласно (4) может влиять на $\ddot{\Gamma}$ только через изменения вектора угловых скоростей $\boldsymbol{\omega}$. Из системы (4) получим

$$\ddot{\Gamma} = \frac{\partial \mathbf{F}_1(\boldsymbol{\omega}, \Gamma)}{\partial \boldsymbol{\omega}} \dot{\boldsymbol{\omega}} + \frac{\partial \mathbf{F}_1(\boldsymbol{\omega}, \Gamma)}{\partial \Gamma} \dot{\Gamma} \quad (8)$$

и, подставляя $\dot{\boldsymbol{\omega}}$, $\dot{\Gamma}$ из (4) в (8), будем иметь

$$\ddot{\Gamma} = \frac{\partial \mathbf{F}_1(\boldsymbol{\omega}, \Gamma)}{\partial \boldsymbol{\omega}} \mathbf{F}_2(\boldsymbol{\omega}) + \frac{\partial \mathbf{F}_1(\boldsymbol{\omega}, \Gamma)}{\partial \Gamma} \dot{\Gamma} + \frac{\partial \mathbf{F}_1(\boldsymbol{\omega}, \Gamma)}{\partial \boldsymbol{\omega}} B\mathbf{M}. \quad (9)$$

Для вычисления желаемого значения $\mathbf{M} = \mathbf{M}_{\text{ref}}$ приравняем правые части соотношений (7) и (9). Опустив обозначения переменных в функциях \mathbf{F}_1 и \mathbf{F}_2 , после несложных преобразований получим

$$\mathbf{M}_{\text{ref}} = -\text{inv}(B) \left[\mathbf{F}_2 + \text{inv} \left(\frac{\partial \mathbf{F}_1}{\partial \boldsymbol{\omega}} \right) \left(\left(\frac{\partial \mathbf{F}_1}{\partial \Gamma} + K_1 + K_2 \right) \dot{\Gamma} + K_1K_2(\Gamma - \Gamma_{\text{ref}}) \right) \right]. \quad (10)$$

Простая подстановка \mathbf{M}_{ref} из (10) в уравнение (9) приводит к уравнению (7), т. е. введение нелинейной обратной связи в управляемую систему (4) превращает её в линейную систему второго порядка с желаемым переходным процессом из начального состояния $\mathbf{\Gamma}(0)$ в конечное состояние $\mathbf{\Gamma}_{\text{ref}}$. При этом в случае $\mathbf{\Gamma}_{\text{ref}} = \text{const}$ значения $\ddot{\mathbf{\Gamma}}$ и $\dot{\mathbf{\Gamma}}$ экспоненциально стремятся к нулю, что в соответствии с (1) приводит к нулю и вектор угловых скоростей $\boldsymbol{\omega}$.

Соотношение (10) определяет вектор так называемых требуемых значений вращающихся моментов, позволяющих установить и поддерживать значения углов $\mathbf{\Gamma} = \mathbf{\Gamma}_{\text{ref}}$. Однако из-за особенностей конструкции ЛА и эффективности его рулей не всегда можно выполнить (10). В этом случае говорят о располагаемых значениях моментов вращения и допустимых углах отклонения рулевых поверхностей. Нахождение необходимых углов отклонения рулей существенно зависит от конструкции ЛА.

Углы отклонения рулей. Рассмотрим вопрос определения углов отклонения рулей, обеспечивающих требуемое значение момента \mathbf{M}_{ref} . Эффективность рулей зависит от скорости аппарата, плотности воздуха и многих других параметров полёта, наиболее существенными из которых являются скорость движения и углы атаки α и скольжения β . Углы α и β задают положение скоростной системы координат относительно связанной. В скоростной системе ось OX_a направлена по воздушной скорости \mathbf{V} , ось подъёмной силы OY_a располагается в плоскости симметрии ЛА и направлена вверх, боковая ось OZ_a — перпендикулярно плоскости симметрии по правому полукрылу [1]. Угол атаки α — угол между осью OX_a и проекцией скорости \mathbf{V} на плоскость OXY связанной системы координат; угол скольжения β — угол между скоростью \mathbf{V} и плоскостью OXY связанной системы координат.

Скоростная система координат используется для описания воздействия набегающего потока воздуха при продувках ЛА или его динамически подобных моделей в аэродинамических трубах. Результаты испытаний в аэродинамических трубах сведены в таблицы безразмерных коэффициентов, отражающих зависимости аэродинамических коэффициентов ЛА от углов α , β , углов отклонения рулевых поверхностей и других параметров полёта. Эти таблицы в условиях реального полёта позволяют восстановить силы и моменты, действующие на летательный аппарат.

В общем случае значение располагаемого момента \mathbf{M}_{av} можно представить в виде

$$\mathbf{M}_{av}(\alpha, \beta, \boldsymbol{\delta}) = \mathbf{M}_0(\alpha, \beta) + \frac{\partial \mathbf{M}(\alpha, \beta, \boldsymbol{\delta})}{\partial \boldsymbol{\delta}} \boldsymbol{\delta}. \quad (11)$$

В (11) $\boldsymbol{\delta} = (\delta_a, \delta_r, \delta_e)^T$ — вектор углов отклонений обобщённых рулей крена, курса и высоты; $\mathbf{M}_0(\alpha, \beta)$ — момент вращения, создаваемый воздушным потоком при нулевых отклонениях рулей. Для создания момента в соответствии с (10) необходимо отклонить рули на углы

$$\boldsymbol{\delta}_{\text{ref}} = \text{inv} \left(\frac{\partial \mathbf{M}(\alpha, \beta, \boldsymbol{\delta})}{\partial \boldsymbol{\delta}} \right) (\mathbf{M}_{\text{ref}} - \mathbf{M}_0(\alpha, \beta)). \quad (12)$$

Последнее соотношение справедливо при зависимости $\mathbf{M}_{av}(\alpha, \beta, \boldsymbol{\delta})$ от $\boldsymbol{\delta}$, близкой к линейной при ограниченных углах $\boldsymbol{\delta}$. Углы $\boldsymbol{\delta}$ всегда ограничены либо конструктивными соображениями, либо величиной предельно допустимых перегрузок. При этом не всегда возможно выполнить условие $\mathbf{M}_{av} = \mathbf{M}_{\text{ref}}$ и заданная желаемая траектория (5), (6) оказывается нереализуемой. Выход из такого положения может заключаться в уменьшении диагональных коэффициентов матриц K_1 и K_2 . Это приводит к увеличению постоянных времени переходных процессов на траектории (5), (6) и снижению требований к моменту \mathbf{M}_{ref} .

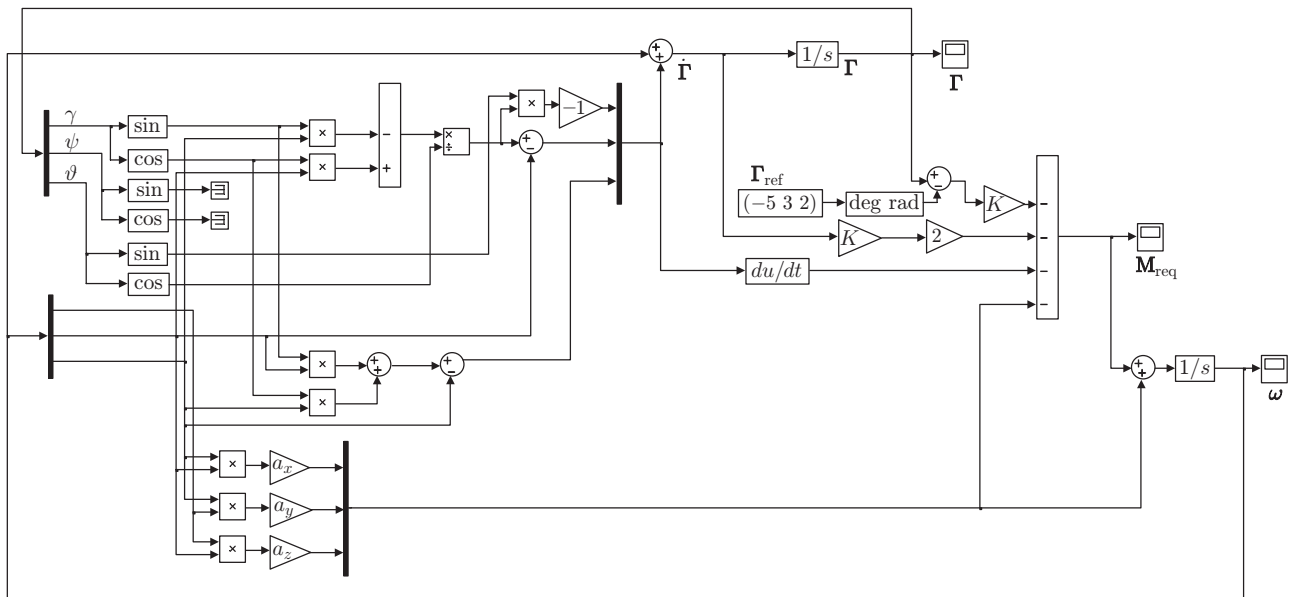


Рис. 1

Моделирование движения. Предложенный метод управления ориентацией летательного аппарата реализован в среде MATLAB/Simulink. На рис. 1 представлена схема контроллера, обеспечивающая вычисление требуемых моментов для перевода ЛА к заданной ориентации. На рис. 2–4 показаны графики переходных процессов углов Эйлера, угловых скоростей и требуемых моментов соответственно. При моделировании использованы параметры летательного аппарата "Sekwa" [6, 7]: осевые моменты инерции $I_x = 0,19 \text{ кг}\cdot\text{м}^2$, $I_y = -0,25 \text{ кг}\cdot\text{м}^2$, $I_z = 0,05 \text{ кг}\cdot\text{м}^2$ (учтены различия связанных систем координат по ГОСТ 20058-80 и ISO 1151 [1]).

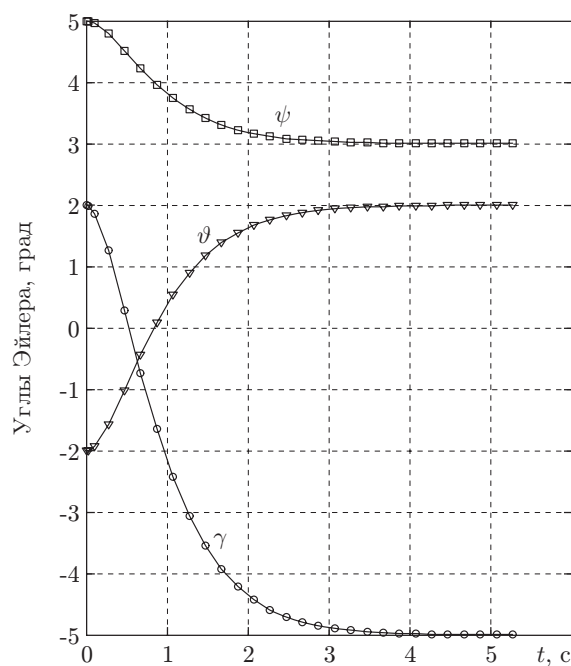


Рис. 2

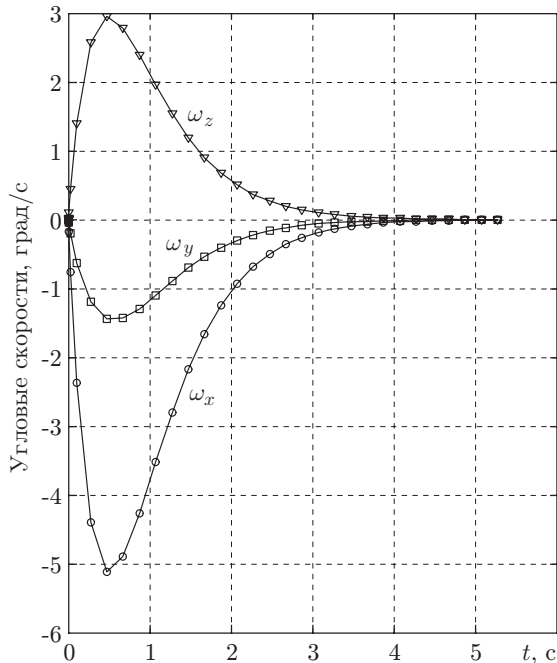


Рис. 3

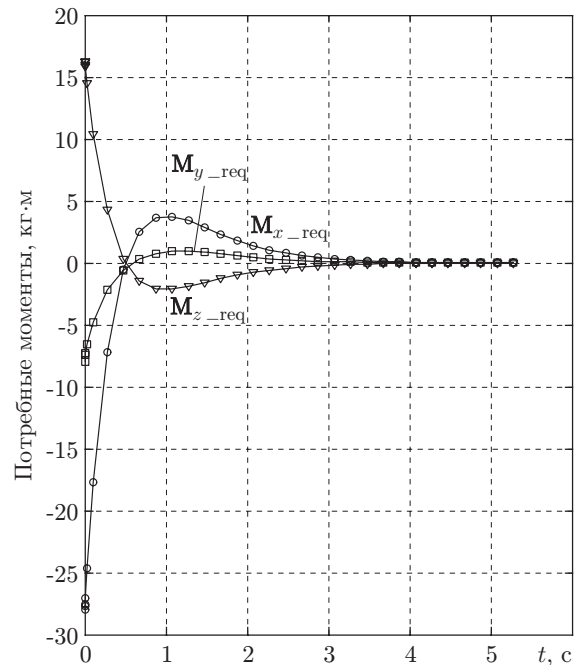


Рис. 4

Начальные значения угловых скоростей $\omega_x = \omega_y = \omega_z = 0^\circ$ и углов ориентации $\gamma_0 = 2^\circ$, $\psi = 5^\circ$, $\vartheta = -2^\circ$. Желаемые значения углов ориентации $\gamma_{\text{ref}} = -5^\circ$, $\psi_{\text{ref}} = 3^\circ$, $\vartheta_{\text{ref}} = 2^\circ$.

В схеме контроллера $a_x = (I_y - I_z)/I_x$, $a_y = (I_z - I_x)/I_y$, $a_z = (I_x - I_y)/I_z$. Значения коэффициентов усиления $\tau_x = 2$, $\tau_y = 2$, $\tau_z = 2$.

Закключение. Использование метода [4] организации вынужденного движения вдоль желаемой траектории в пространстве состояний для управления ориентацией летательного аппарата позволило достичь удовлетворительных переходных процессов. Представленная схема контроллера более проста в сравнении с результатами, полученными в [7] методом backstepping, при примерно равных показателях качества переходных процессов.

Предложенный способ вычисления требуемых для достижения заданной ориентации летательного аппарата моментов реализован в среде MATLAB/Simulink. Результаты численного моделирования подтвердили эффективность данного подхода.

СПИСОК ЛИТЕРАТУРЫ

1. **ГОСТ 20058-80.** Динамика летательных аппаратов в атмосфере. М.: Изд-во стандартов, 1981. 54 с. URL: <http://gostexpert.ru/gost/getDoc/3780> (дата обращения: 2.06.2015).
2. **Воробьев В. Г., Кузнецов С. В.** Автоматическое управление полетом самолета. М.: Транспорт, 1995. 448 с.
3. **Лебедев А. А., Чернобровкин Л. С.** Динамика полета. М.: Машиностроение, 1973. 616 с.
4. **Бобко В. Д., Золотухин Ю. Н., Нестеров А. А.** Нечеткая реализация скользящих режимов в системе возбуждения синхронного генератора // Тр. Междунар. конф. «Проблемы управления и моделирования в сложных системах». Самара: Изд-во Самарского научного центра РАН, 1999. С. 229–234.
5. **Мирошник И. В.** Теория автоматического управления. Линейные системы. С.-Пб.: Питер, 2005. 336 с.

-
6. **Blaaw D.** Flight Control System for a Variable Stability Blended-Wing-Body Unmanned Aerial Vehicle: Master of Science Thesis. University of Stellenbosch, South Africa, 2009. 205 p. URL: <http://scholar.sun.ac.za/handle/10019.1/2297> (дата обращения: 2.06.2015).
 7. **Lungu M.** Stabilization and control of a UAV flight attitude angles using the backstepping method // World Academy of Science, Engineering and Technology. 2012. **6**, N 1. P. 241–248. URL: <http://waset.org/publications/6207/stabilization-and-control-of-a-uav-flight-attitude-angles-using-the-backstepping-method> (дата обращения: 2.06.2015).

Поступила в редакцию 2 июня 2015 г.
